

УДК 539.216.2:621.315.592

© Н.Т.Гладких, И.П.Гребенник,
С.В.Дукаров, М.С.Зото, И.В.Сорокина, 1992

Харьковский госуниверситет

ЭЛЕКТРОНОГРАФИЧЕСКОЕ ИССЛЕДОВАНИЕ ВЗАИМОДЕЙСТВИЯ ТОНКИХ ПЛЕНОК NI И GaAs

Приводятся результаты электронографического исследования фазового состава двухслойных пленок Ni/GaAs в зависимости от соотношения толщин слоев. Конденсация никеля проводилась при 400°C. Показано, что структура и число образующихся при взаимодействии фаз различны в случаях, когда пленка GaAs конденсировалась при 20 и 400°C.

Контакты металл–проводник широко используются в микроэлектронике, однако, если процессы на границе металл–кремний, металл–германий изучены достаточно полно, то явления на границе металла с арсенидом галлия исследованы недостаточно. В частности, представляет интерес система Ni–GaAs, для которой в работе [1] получены некоторые сведения о межфазном взаимодействии в зоне контакта для пленки Ni толщиной 0,1–0,5 мкм, химически осажденной на легированную оловом полированную монокристаллическую подложку GaAs при отжиге в атмосфере водорода при 300–550°C.

В настоящей работе описаны результаты исследования межфазного взаимодействия тонких слоев Ni и GaAs.

Объектом исследования служили тонкие пленки GaAs и Ni, полученные путем последовательного термического испарения и конденсации в вакууме 10^{-4} Па на подложки – монокристаллы NaCl. Подложки располагались по отношению к испарителям таким образом, чтобы в различных точках получать слои GaAs примерно постоянной толщины (~30 нм), а слои Ni – переменной (3–50 нм). Для GaAs применяли метод дискретного испарения, для Ni – метод термического испарения из вольфрамовой проволоки. Температура подложки при конденсации GaAs составляла 20 и 400°C, а при конденсации никеля – 400°C. Полученные образцы охлаждались в вакууме и далее исследовались электронографически. Расшифровка образующихся при взаимодействии фаз производилась путем сравнения экспериментальных значений межплоскостных расстояний с рассчитанными для известных фаз двойных систем Ni–As и Ni–Ga [2–6].

Характерные электронограммы, полученные от пленок Ni/GaAs при конденсации слоев GaAs на подложки NaCl при 20 и 400°C, а Ni разной толщины при 400°C, приведены на рис. 1, 2. Видно (рис. 1), что в случае осаждения GaAs на подложки из NaCl при 20°C электронограммы указывают на отсутствие ориентирующего действия подложки на структуру образующихся при контактном взаимодействии фаз системы Ni–GaAs. В то же время конденсация GaAs на подложку NaCl при 400°C приводит к образованию монокристальной GaAs-фазы,

оказывающей ориентирующее действие на растущие на межфазной границе фазы, особенно при толщинах пленки Ni, сравнимых с толщиной GaAs (рис. 2).

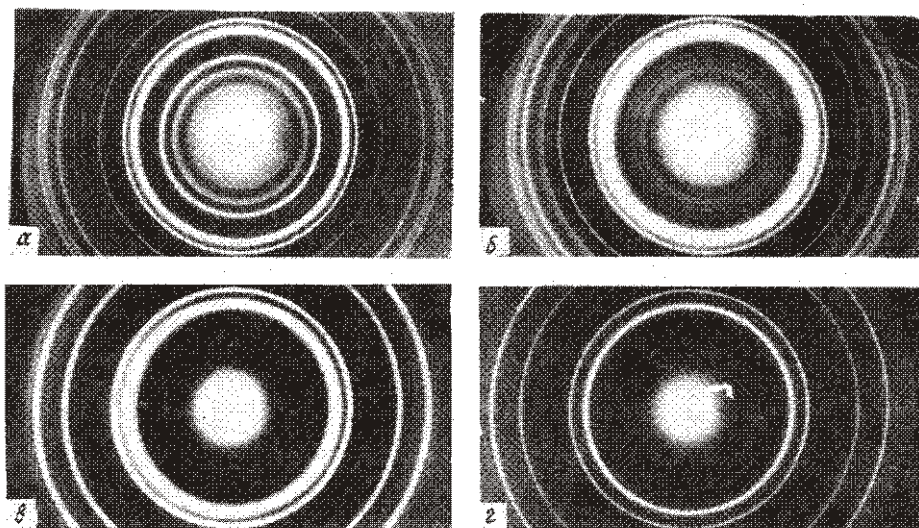


Рис. 1. Электронограммы двухслойных пленок Ni/GaAs (конденсация GaAs при 20°C) при толщине пленок никеля 30 (а), 16 (б), 10 (в) и 4 нм (г)

Результаты расчетов межплоскостных расстояний по полученным электронограммам содержатся в таблице (случай нанесения слоев GaAs и Ni при 400°C). В той же таблице приведены расчетные значения межплоскостных расстояний ряда известных фаз двойных систем Ni–As и Ni–Ga без учета законов погасания, так как для идентичных по структуре фаз тройной системы Ni–Ga–As возможно появление запрещенных рефлексов.

Если расчет электронограмм от растущих поликристаллических фаз вызывает затруднения, то образование фаз в различном структурном состоянии представляет дополнительные возможности уточнения приводимых расчетов.

При идентификации образующихся фаз использовались известные методы визуального разделения дифракционных отражений фаз с учетом расположения сплошных и прерывистых колец, рефлексов от монокристалльных составляющих (с учетом их формы), интенсивности отражений, которые определяются как структурой фаз, так и их состоянием. Учитывалось также образование двойниковых прослоек, взаимная ориентация фаз в условиях ориентационного и размерного соответствия. Для фаз переменного состава двойных систем предполагалась также возможность изменения параметров кристаллической решетки при образовании идентичных структур в тройной системе. В результате оказалось возможным выделить максимумы одинакового внешнего вида, принадлежащие одной фазе, и получить соответствующие им наборы межплоскостных расстояний.

Очень слабые рефлексы от монокристалльной составляющей (рис. 2, а), лежащие на соответствующих дугах, в силу близости отражений (330), (600), (630) фазы NiGa_4 отражений от (220), (400), (420) фазы GaAs следует, по-видимому, отнести к образующей фазе с решеткой типа NiGa_4 ($t_{\text{Ni}} = 10 \text{ нм}$, $t_{\text{GaAs}} = 30 \text{ нм}$). Сильные дифракционные кольца принадлежат α -фазе (ГЦК-решетка на основе Ni). При отсутствии ориентирующего действия подложки (пленки GaAs) наличие фазы NiGa_4 характеризовало появление системы весьма тонких дифракционных линий, отвечающих отражениям от

плоскостей с межплоскостными расстояниями d_{hkl} , равными 2,83; 2,51; 2,41; 1,25; 1,14; 1,05 Å (отражение от плоскостей (300), (311), (422), (622), (552), (811)). Образующаяся при взаимодействии Ni и GaAs фаза Ni_3As_2 была мелкодисперсной и ее характеризовал набор размытых линий с $d_{hkl} = 2,72$; 1,89; 1,79; 1,62; 1,29; 1,25 Å (отражения от плоскостей (111), (104), (302), (303), (311), (410)).

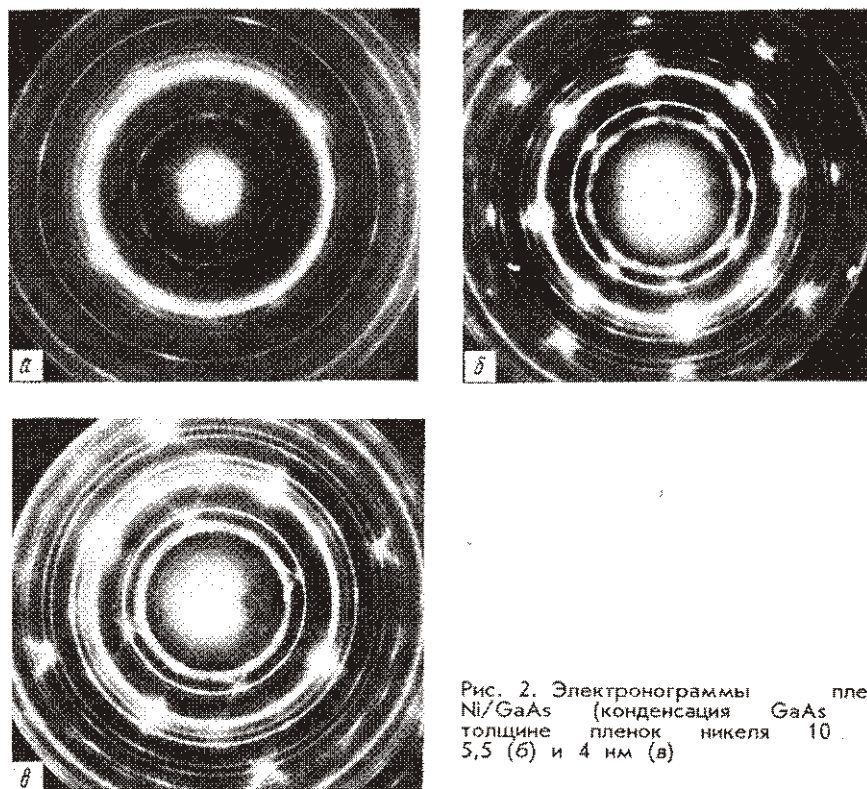


Рис. 2. Электронограммы пленок Ni/GaAs (конденсация GaAs при толщине пленок никеля 10 (а), 5,5 (б) и 4 нм (в))

При росте кристалликов с решеткой γ -фазы Ni_3Ga_2 появлялись три яркие линии (самая яркая с $d_{hkl} = 2,02$ Å, получаемая отражением от плоскости (102)). О наличии фазы с решеткой типа NiAs можно было судить по появлению ярких сплошных линий с $d_{hkl} = 2,66$ и 1,97 Å, полученных отражением от плоскостей (101), (102). В ряде случаев наблюдалось образование текстурированной фазы с решеткой NiGa_4 , приводящей к наличию 12 утолщенных дуг на отражениях от плоскостей (211), (311), (422), (611), (552). По мере уменьшения толщины слоя Ni при контактном взаимодействии наблюдали образование смеси фаз с решетками типа α' -фазы (сверхструктурь типа Cu_3Au [3]) + NiGa_4 (при $t_{\text{Ni}} = 30$ нм); α' -фазы + Ni_3As_2 + NiGa_4 (при $t_{\text{Ni}} = 16$ нм); γ - Ni_3Ga_2 + α - NiAs_2 + GaAs + Ni_3Ga_4 + аморфная фаза (при $t_{\text{Ni}} = 10$ нм); NiAs + NiGa_4 + α - NiAs_2 (при $t_{\text{Ni}} = 4$ нм). При этом положения гало аморфной фазы на электронограммах (2,25–1,92 Å; 1,56–1,50 Å) отвечают наложению дифракционных линий с близкими межплоскостными расстояниями от NiGa_4 и кристаллического Ga.

Аналогичная картина получается в случае, когда слой GaAs наносили на монокристаллы NaCl при 20°C, затем производили нагрев до 400°C и пленку Ni

Межплоскостные расстояния фаз, образующихся в пленках Ni/GaAs, при различных толщинах пленок никеля (t , нм)

Экспериментальные значения d/n (Å)									Расчетные значения d/n (Å) фаз двойных систем											
30	16	12	11	10	9	8	7	5,5	5	4,5	4	GaAs	NiAs	NiGa ₄	Ni ₅ As ₂	α''	Ni ₃ Ga ₄	Ni ₃ Ga ₂	α' -фаза	
5,30	5,30							5,60		5,11	5,06	5,10				5,36	5,14	4,98	5,09	
								4,60		4,17	4,26					4,20	4,10	4,06	4,66	
3,75					3,65	3,83	3,84		3,81		3,70					3,76	3,86	3,81		
3,40	3,40	3,40	3,40	3,40	3,36	3,44	3,44	3,40	3,42		3,56							3,61	3,56	3,57
3,33	3,26	3,28	3,22	3,33	3,28	3,26	3,26	3,28	3,23	3,24	3,26	3,26				3,44	3,415	3,44	3,40	
										3,13	3,14	3,12	3,09				3,30	3,32		
													3,14				3,15	3,19	3,16	
																			2,84	
2,89	2,89	2,89	2,99																	
2,83	2,86	2,82	2,82	2,83	2,83	2,83	2,83	2,81	2,81	2,83	2,82						2,80	2,82	2,82	2,82
2,78					2,72	2,72	2,76	2,76	2,78										2,74	
2,67	2,68	2,69				2,70	2,67	2,65				2,66	2,66							
2,54	2,54	2,51	2,51	2,54			2,55	2,50	2,51	2,48	2,50		2,52	2,53	2,52		2,52	2,52		2,54
										2,37									2,40	
2,25	2,25	2,21	2,25	2,22	2,22	2,22	2,22	2,22	2,18				2,25	2,20						
2,11		2,19	2,12											2,105	2,11	2,13	2,12			
2,06	2,06	2,04	2,10	2,04	2,04	2,04	2,04	2,04	2,04					2,03	2,05	2,05	2,05	2,04	2,06	
1,99	1,99	1,99	1,98	2,00	1,99	1,99	1,97	1,97	1,95	1,98	1,99	1,99	1,96	1,985	1,97	2,00	2,02	2,02	2,02	
1,97					1,97	1,94													1,97	
										1,92	1,92								1,92	
										1,84									1,84	
1,78	1,80	1,79	1,80	1,80	1,79	1,81	1,76	1,80	1,80	1,82	1,81						1,88	1,88	1,88	1,83
1,70	1,68	1,70	1,70	1,68	1,70	1,72	1,70	1,71	1,69	1,71	1,70	1,71	1,71	1,71	1,71	1,71	1,71	1,71	1,70	

осаждали на нагретую пленку GaAs. При этом прослеживается переход от фаз с большей концентрацией Ni (α -фаза, Ni_5As_2 , $\gamma-Ni_3Ga_2$) к фазам с меньшей концентрацией Ni ($\alpha-NiAs_2$, Ni_3Ga_4 , $NiAs$) по мере уменьшения толщины пленки Ni.

Исключением является фаза $NiGa_4$ с максимальным содержанием Ga, которая образуется практически во всем исследованном интервале толщин контактирующих слоев Ni и GaAs. Являясь самой низкотемпературной фазой системы Ni–Ga, она при температуре конденсации может переходить в жидкое состояние. Это, возможно, является причиной частичной аморфизации для пленок с соотношением толщин $t_{Ni}:t_{GaAs} = 1:4$.

Следует отметить, что только начиная с толщин пленки Ni 16 нм электронограммы содержат дифракционные рефлексы подложки GaAs, оказывающей ориентирующее действие на растущую фазу $NiGa_4$. При больших толщинах слоев Ni отражения от пленки GaAs на электронограммах не выявляются. В результате ориентирующего действия подложки GaAs наблюдаются два варианта ориентации растущей фазы $NiGa_4$ – при совпадении отражений (300) $NiGa_4$ и (200) GaAs (рис. 2, в) или когда обратная решетка $NiGa_4$ повернута на 45° вокруг первичного пучка и отражения (200) GaAs и (300) $NiGa_4$, (220) GaAs и (330) $NiGa_4$, чередуясь, образуя 8 рефлексов (рис. 2, б).

Электронно-микроскопические снимки от пленок в большинстве случаев отвечают мелкокристаллической структуре образующихся при взаимодействии фаз.

Сравнение полученных результатов с данными работы [1] указывает на отличие протекающих процессов взаимодействия в тонких пленках и массивных объектах, хотя и в том, и в другом случае одной из образующихся является фаза $NiGa_4$. (Образование фаз NiAs и NiGa авторы [1] сами подвергают сомнению.) Если в тонких слоях наблюдали при определенных соотношениях толщин Ni и GaAs практически полное растворение GaAs в Ni, то в работе [1] результатом контактного взаимодействия являлось полное исчезновение дифракционных линий или гало от Ni (так как пленки Ni аморфны).

Наличие гало на электронограммах может свидетельствовать о механизме образования фаз с участием жидкой фазы [1], так как наличие гало на электронограммах подтверждает формирование на границе металл–полупроводник аморфного тонкого слоя, постулируемого авторами [7], который может играть роль "плавающей зоны" в процессе роста контактного слоя.

Таким образом, в результате электронографических исследований установлено, что в двухслойных пленках Ni/GaAs различной толщины структура и число образующихся фаз различаются в случаях, когда пленка GaAs конденсируется при 20 и 400°C. При этом слой этой пленки, сконденсированной при 400°C, оказывает ориентирующее действие на рост фаз.

1. Мейлер Б.Л. // Поверхность. – 1985. – N 4. – С. 62.
2. Хансен М.Ю., Андерко К. Структуры двойных сплавов. – М. : Металлургиздат, 1962.
3. Эллиот Р.П. Структуры двойных сплавов. – М. : Металлургия, 1970.
4. Шанк Ф.А. Структуры двойных сплавов. – М. : Металлургия, 1973.
5. Вол А.Е. Строение и свойства двойных металлических систем. – М. : Физматгиз, 1959.
6. Яценко С.П. Галлий. Взаимодействие с металлами. – М. : Наука, 1974.
7. Гершинский А.Е., Ржанов А.В., Черепов В.И. // Поверхность. – 1982. – N 2. – С. 1.

Получено 15.01.91 (оконч. вариант – 23.12.91)